

川崎製鉄技報
KAWASAKI STEEL GIHO
Vol.29 (1997) No.4

長纖維強化樹脂射出成形の流動解析

Flow Analysis of Long-Fiber-Reinforced Thermoplastic in Injection Molding

高木 香 (Kaori Takagi) 尾野 友重 (Tomoshige Ono) 花谷 誠二 (Seiji Hanatani)

要旨：

長纖維強化樹脂「Verton」の射出成形に関して、市販ソフトを使用した流動解析を実施した。解析対象は中央にリブのある平板状成形品である。ウェルドの発生、面内および板厚方向の纖維配向分布、機械物性の異方性の予測結果は、実成形品の分析および試験結果とよく一致し、長纖維系樹脂の流動解析に市販のソフトが適用できることを確認した。また、成形品の破壊試験を行い、そのシミュレーション計算を実施した。計算には、流動解析から得られた異方性機械物性値を用いた。計算で求めた荷重-変位曲線は、実験結果とよく一致した。

Synopsis :

Flow analysis of long-fiber-reinforced polypropylene / PP-Verton in injection molding was carried out to predict the weld line location, the orientation distribution of fibers and the anisotropic material properties based on the fiber orientation. The predicted results were in good agreement with the experimental data of real molded parts. It was confirmed that the commercially-available flow analysis program could be successfully applied to the above-mentioned analysis of long-fiber-reinforced resin. A bending test of the molded part was carried out along with the FEM simulation of the bending test in which the anisotropic material properties obtained by flow analysis were employed. The load-deflection curve obtained by the simulation was in good agreement with the measured one.

(c)JFE Steel Corporation, 2003

本文は次のページから閲覧できます。

Flow Analysis of Long-Fiber-Reinforced Thermoplastic in Injection Molding



高木 香
Kaori Takagi
技術研究所 化学研究
部門



尾野 友重
Tomoshige Ono
技術研究所 化学研究
部門 主任研究員（掛
長）



花谷 誠二
Seiji Hanatani
化学事業部 樹脂部
主査（課長）

要旨

長纖維強化樹脂「Verton®」の射出成形に関して、市販ソフトを使用した流動解析を実施した。解析対象は中央にリブのある平板状成形品である。ウエルドの発生、面内および板厚方向の纖維配向分布、機械物性の異方性の予測結果は、実成形品の分析および試験結果とよく一致し、長纖維系樹脂の流動解析に市販のソフトが適用できることを確認した。また、成形品の破壊試験を行い、そのシミュレーション計算を実施した。計算には、流動解析から得られた異方性機械物性値を用いた。計算で求めた荷重-変位曲線は、実験結果とよく一致した。

Synopsis:

Flow analysis of long-fiber-reinforced polypropylene "PP-Verton®" in injection molding was carried out to predict the weld line location, the orientation distribution of fibers and the anisotropic material properties based on the fiber orientation. The predicted results were in good agreement with the experimental data of real molded parts. It was confirmed that the commercially-available flow analysis program could be successfully applied to the above-mentioned analysis of long-fiber-reinforced resin. A bending test of the molded part was carried out along with the FEM simulation of the bending test in which the anisotropic material properties obtained by flow analysis were employed. The load-deflection curve obtained by the simulation was in good agreement with the measured one.

1 緒 言

当社が製造、販売しているガラス長纖維強化ポリプロピレン「PP-Verton®」は、高強度であり、耐衝撃性や耐クリープ性、疲労強度特性に優れている。これまでの用途は短纖維ナイロンやその他の纖維強化樹脂に対する材料代替を中心であったが、最近では、初期設計の段階から、PP-Vertonを前提とした部品開発が活発化してきている。Vertonの特長を活かす部品とは、静的荷重、動的荷重(衝撃)、あるいは繰り返し荷重を対象とした(準)構造部品である。

新規部品開発においては開発のスピードアップが求められ、製品設計—金型試作—金型—生産といった流れの中で、製品設計—金型試作の繰り返しを少なくし、時間を短縮する必要がある。

纖維強化樹脂成形品では、成形時の樹脂流動にともない、纖維配向分布が生じることが不可避で、結果として成形品中各所の機械的特性の差(機械的異方性)が生じる。また、纖維強化材に限らず、樹脂成形では流動の合流部はウエルドと呼ばれ、しばしば強度の欠陥となる。したがって、初期設計の段階で、纖維配向に基づく機械的特性を知り、荷重負荷時の応力集中箇所でのウエルド発生の回避

を検討することが必要であり、この検討により、開発期間を短縮することができる。

纖維配向とともに成形品の機械的物性の異方性を予測する手段として流動解析がある。すでに市販の流動解析ソフトが開発され、短纖維系の樹脂を対象とした解析精度の検証はかなり進んでいる^{1,2)}。

本研究では、Vertonの射出成形品に関して、(株)プラメディアリサーチの市販解析ソフトを使用した流動解析により、ウエルドの発生、纖維配向分布、機械物性の異方性を予測し、実成形品との比較から、解析精度を検証し、市販ソフトの長纖維系樹脂への適用性を検討した。さらに、流動解析ソフトと構造解析ソフトをインターフェースを介してつなぎ、流動解析で得られた異方性機械物性を用いた構造解析を行い、解析結果と破壊試験結果の荷重-変位曲線を比較した。

2 実 験

2.1 成形品形状

成形品の形状をFig. 1に示す。成形品は、60 mm × 90 mm の平板の中央に、長さ40 mm のリブを持つ形状であり、板厚およびリ

* 平成9年8月29日原稿受付

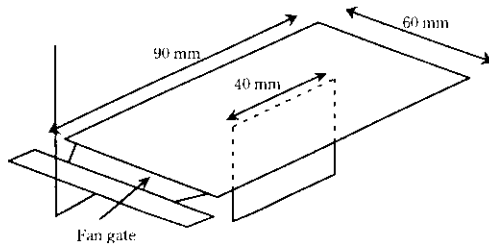


Fig. 1 Geometry of a molded part

Table 1 Sizes of molded parts (mm)

Sample	T2H10	T3H15	T5H25
Thickness of wall and rib	2	3	5
Rib height	10	15	25

Table 2 Molding conditions

Melt temperature	(°C)	240
Mold temperature	(°C)	60
Injection rate	(cm ³ /s)	30
Holding pressure	(MPa)	3.5
Holding time	(s)	5
Cooling time	(s)	30

ブ高さが変更できる。本検討で使用した成形品の寸法および形状名を Table 1 に示す。

2.2 成形

成形材料としては川崎製鉄ガラス長繊維強化ポリプロピレン (Verton MFX700-10; ベレット長 9 mm, ガラス含有率 50 mass%, ガラス繊維径 17 μm) を使用した。成形は、Table 2 に示す Verton の標準的な条件を採用した。

2.3 評価

成形品の纖維配向状態は、軟 X 線写真、および光学顕微鏡により観察した。纖維配向角分布は、軟 X 線写真を画像処理^③すること

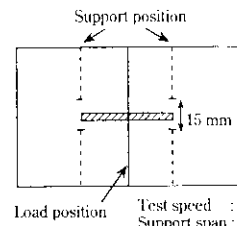


Fig. 3 Bending test method of a molded part

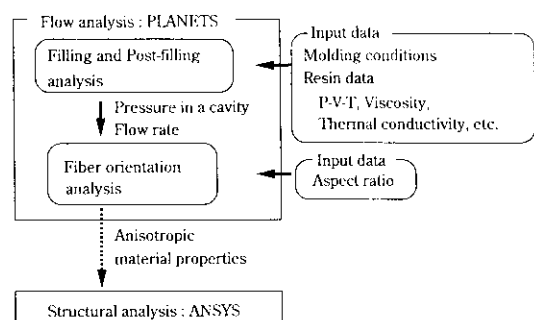


Fig. 4 Flow chart of the analysis

により求めた。成形品から切り出した試験片の弾性率の測定は、JIS K 7055 A 法に準拠した。配向角分布測定、断面観察、および曲げ弾性率測定部位を Fig. 2 に示す。さらに、Fig. 3 に示すような 3 点曲げ試験方法により、成形品の破壊試験を行った。リブ長手方向にスパンを 40 mm とり、リブをはさんで 15 mm 開けて拘束し、成形品中央に荷重をかけた。試験速度は 5 mm/min とした。

3 解析

解析の流れを Fig. 4 に示す。数値解析の離散化手法は流動解析、構造解析とも有限要素法である。流動解析ソフトは PLANETS ((株)プラメディアリサーチ製) を使用し、充填保圧冷却解析ならびに纖維配向解析を実施した。

充填保圧冷却解析では、充填解析で充填開始から終了までの溶融樹脂の流動挙動を、保圧冷却解析で充填終了から離型までの P-V-T 線図に沿った樹脂の状態変化をシミュレートする。2 次元薄肉流れ、

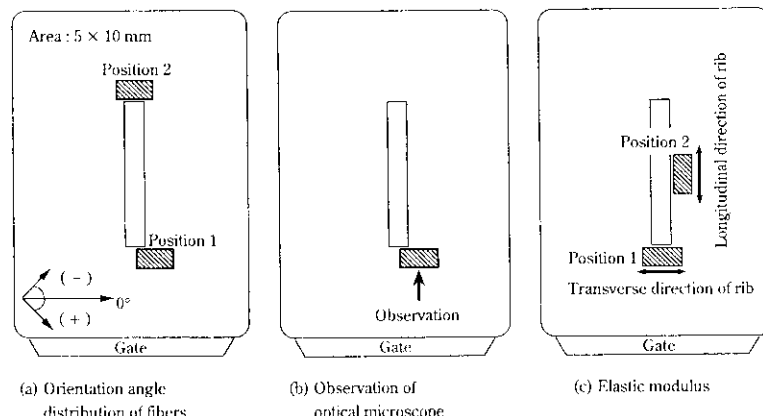


Fig. 2 Position and direction of the specimens taken for the measurements of fiber orientation and flexural modulus, and for the optical microscopic analysis

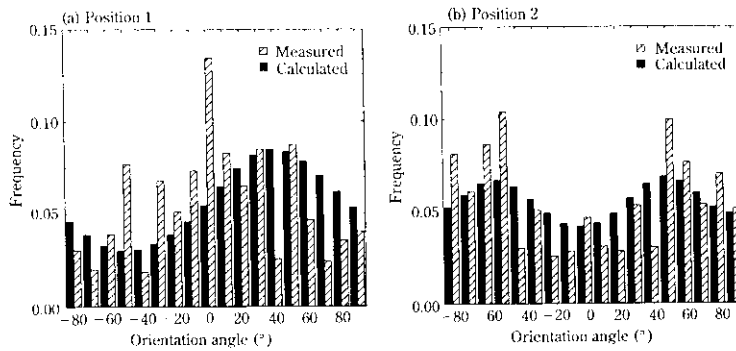


Fig. 6 The distribution of fiber orientation angles (T5H25)

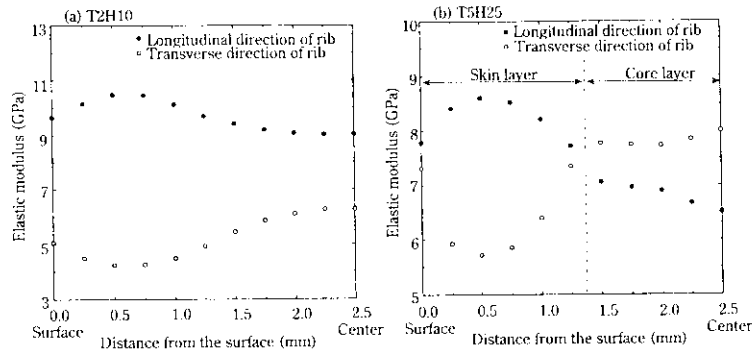


Fig. 7 Change of calculated elastic modulus from surface to center

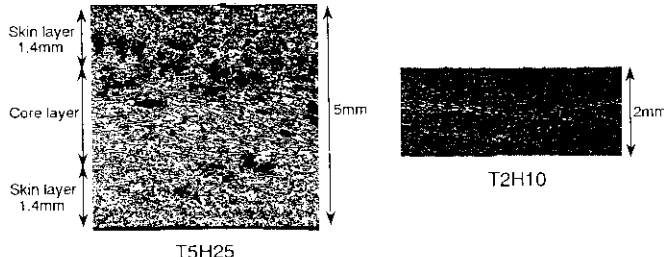


Photo 2 Microscopic photographs of cross section

向方向が流動方向である部分をスキン層、主配向方向が流動方向と垂直方向である部分をコア層と呼ぶが、T2H10 の場合には、纖維は、ほぼ板厚全体で流動方向に向いており、全体がスキン層である。一方、T5H25 のように板厚が厚くなると、板厚の中央に樹脂の流動方向と垂直に纖維が配向しているコア層が発生し、スキンーコア構造が形成される。スキン層厚みは上下とも約 1.4 mm である。

Fig. 2(b) 中に示した箇所における、纖維配向角分布に基づき算出した、平板部のリブ長手方向およびリブ直交方向の弾性率の板厚方向への変化を Fig. 7 に示す。形状 T2H10 の場合には、板厚の中央部まで、リブ長手方向の弾性率の方がリブ直交方向の弾性率より高い。この結果は、板厚全体にわたって、樹脂流動方向へ纖維が配向したスキン層であることを表わしており、実成形体の構造と一致している。また、T5H25 の形状では、平板の表層ではリブ長手方向の弾性率がリブ直交方向の弾性率より高いが、中央に近づくとその関係が逆転する。中央部では纖維の流動方向と垂直な方向への配向が強くなっている、スキンーコア構造が形成されていることを示唆している。リブ長手方向と直交方向の大小関係が逆転するところを、スキンーコアの境界と考えた場合、この結果から求まるスキン層厚

みは 1.4 mm であり、実成形体から求めたスキン層厚みと一致する。板厚の違いによって、平均的な纖維配向の異方性の発現状態が異なるという過去の経験が裏付けられた。

4.2 機械的特性

成形品平板部から切り出した試験片の 3 点曲げ試験により測定した弾性率と、纖維配向解析により得られた弾性率を、Table 3 に示す。解析では樹脂と纖維の界面の接着状態を考慮していないので、実測値より高い値となることは予想されたとおりであるが、実測値にかなり近い値が得られている。成形品の破壊試験により破壊した箇所は、全ての形状において共通で、ゲート側のリブの付け根部であった。

形状 T5H25 の構造解析により得られた最大主応力分布を Fig. 8 に示す。応力分布は上下左右で非対称となっており、機械物性の異方性が反映された結果となっている。解析による応力集中箇所もリブの付け根であったが、より高い応力が発生したのは反ゲート側のリブ付け根であった。リブ後方では、リブ長手方向への纖維配向が強いために発生応力は高くなるが、その分破壊強度も高くなっている。そのため破壊試験ではゲート側のリブ付け根で破壊したと考えられる。

破壊試験および構造解析により求めた初期たわみと反力の関係を Fig. 9 に、解析結果から求めた見かけの弾性率を Table 4 に示す。

Table 3 Elastic modulus of test specimens (GPa)

	T2H10		T5H25	
	Longitudinal direction	Transverse direction	Longitudinal direction	Transverse direction
Measured	5.0	9.0	6.0	6.5
Calculated	6.2	10.3	6.2	7.1

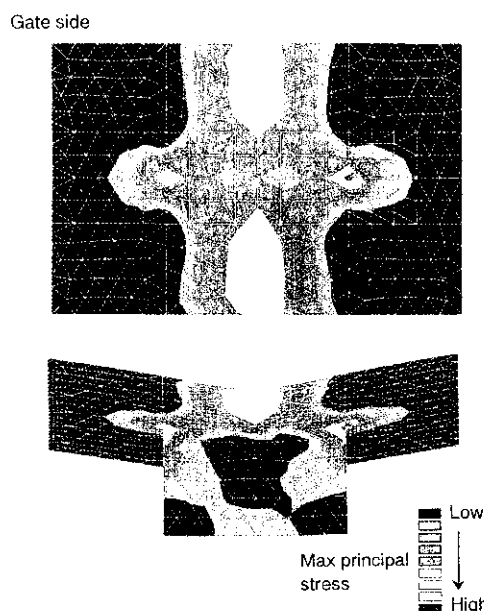


Fig. 8 Distribution of maximum principal stress obtained by structural analysis (T5H25)

見かけの弾性率は板厚が大きくなるにしたがって低下した。これは繊維の主配向方向がリブ長手方向からリブ直交方向へ変化する、すなわちスキン層／コア層比が小さくなるためと考えられる。初期たわみ量と反力の関係は、実測値と計算値でかなりよく一致した。

板厚の影響に関しては、まだ検討の余地が残っているが、ほぼ本システムで、繊維配向に基づく機械的特性を考慮した解析が可能であると考えられる。

5 結 言

長繊維強化樹脂「Vertron」の射出成形に関して、市販ソフトを使

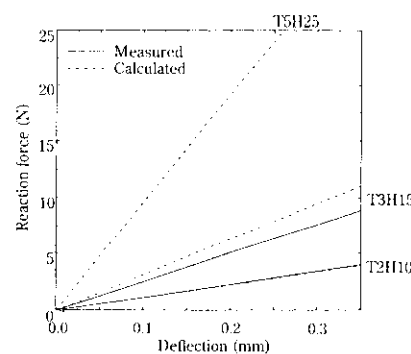


Fig. 9 Reaction force-deflection curve

Table 4 Elastic modulus obtained by structural analysis (GPa)

	T2H10	T3H15	T5H25
	6.3	5.7	5.1

用した流動解析を実施し、以下の点を確認した。

- (1) ウエルドの発生、繊維配向分布、および機械物性の異方性は、長繊維系樹脂に関しても精度よく予測することができ、市販の流動解析ソフトの適用が可能である。
- (2) 繊維配向角分布に基づく機械物性値の異方性を考慮することにより、構造解析と破壊試験の荷重-変位曲線はよく一致する。

以上のように、繊維配向に基づく機械的特性、ウエルド位置などを精度良く推定できることができたことにより、部品開発の迅速化の可能性が示された。

本研究の遂行にあたり、(株)プラメディアリサーチ殿には各種プログラムの作成によりご協力いただきました。ここに付記し謝意を表します。

参 考 文 献

- 1) 伊藤慎基、大藤晋男、安沢孝久：「射出成形品の繊維配向を考慮した機械的特性の予測」、第4回プラスチック成形加工学会年次大会、A101、(1992)、7
- 2) 松本一昭、辻村勇夫、伊奈文夫：「PDC射出成形 CAEシステムによる繊維配向、機械物性、反りの予測」、第4回プラスチック成形加工学会年次大会、A102、(1992)、11
- 3) 矢口仁、中居倫夫、松田伸慶、宍戸郁郎：宮城県工業技術センター研究報告、(1991)23、112
- 4) Jeffery, G. B.: "The Motion of Ellipsoidal Particles Immersed in Viscous Fluid", Proceedings of Royal Society, A102, (1922), 161
- 5) 辻村勇夫：「繊維強化樹脂の物性予測への等価介在物法の適用」、第6回プラスチック成形加工学会年次大会、A103、(1994)、15